

# تحلیل مدار کنترل کننده ولتاژ متناوب از دیدگاه رژیم سینوسی شبکه الکتریکی

دکتر سیدحسین حسینی

استادیار گروه مهندسی برق دانشگاه تبریز

مهندس سعید قاسمزاده - مهندس علی اکبر خامنیان

دانشجویان کارشناسی ارشد گروه مهندسی برق دانشگاه تبریز

چکیده

نظر به افزایش روزافزون استفاده از نیمههادی‌های قدرت در ادوات الکتریکی به منظور کنترل انرژی جاری شده بین شبکه و بار موردنظر، مطالعه ناشیرات آنها در شبکه ضرورت پیدا می‌گند. گرچه در اغلب موارد، نیمههادی‌های قدرت، به عنوان واسطه‌ای بین شبکه و بار اصلی قرار می‌گیرند، ولی کل مجموعه برای شبکه بار غیرخطی محسوب می‌شود. پیامد این‌گونه بارها اعوجاج در شکل موج سینوسی شبکه و مصرف توان را کنیو در رژیم غیرسینوسی است. در این مقاله یک نمونه از این بارهای غیرخطی از نظر شکل موج و لتاژ مورد تحلیل قرار گرفته و نتایج آن ارائه شده است.

## Analysis of a Three Phase Voltage Controller Circuit

S. H. Hosseini, Ph. D.

&

S. Ghassemzadeh, B. Sc—A. A. Khamnian, B. Sc.

Elect. Eng. Dept., University of Tabriz

### ABSTRACT:

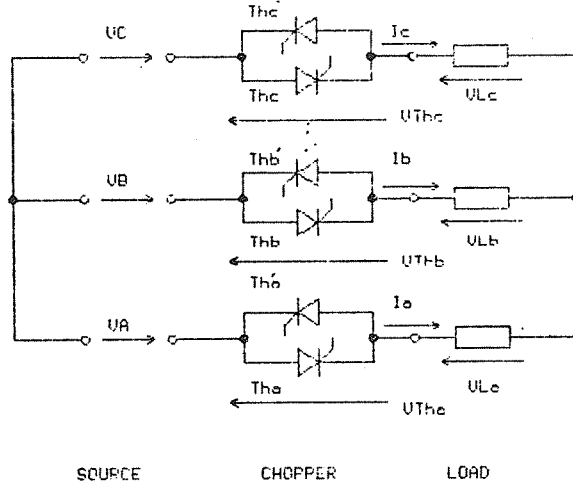
In view of growing use of semiconductors in electric apparatus in order to control the power flow between load and power network, it becomes necessary to investigate the effect of these nonlinear loads on electric network. Although in most cases, power semiconductor acts as a switching device between the main load and network, but the load as a whole is considered to be a nonlinear one for the electric network. These loads present two important disadvantages; they create harmonic currents and require reactive power. From the view-point of voltage wave shape, this paper discusses the matter on as voltage controller circuit.

یافته و بمنوع بارهای مصرفی نیز افزوده می‌شود. این عوامل در نهایت باعث پیچیدگی کیفی شبکه الکتریکی شده و مسائلی را که فرازوی طراحان سیستم قدرت قرار می‌دهد، بفرنج تر می‌سازد. در این میان کیفیت انرژی که در شبکه قدرت جاری است، هم از دیدگاه تولیدکننده

۱- مقدمه  
پیشرفت صنعت، تکنولوژی و سطح رفاه عمومی، انرژی الکتریکی را متداولترین شکل انرژی ساخته است که امروزه به صورت گسترده‌ای از آن استفاده می‌شود. بر همین اساس شبکه برق روزیروز توسعه بیشتر

## ۲- مدار کنترل کننده ولتاژ متناوب:

با قرار دادن تایپرستور مابین منبع ولتاژ متناوب و بار، می‌توان ولتاژی با همان فرکانس ولی با مقدار موثر متغیر به دست آورد. یکی از اشکال متدوال این مدار، که بار در آن به صورت ستاره زمین نشده است، در شکل (۱) نشان داده است.



شکل ۱- مدار کنترل کننده ولتاژ متناوب با بار ستاره زمین نشده

در شکل ۱،  $V_A$ ،  $V_B$  و  $V_C$  ولتاژهای منبع سینوسی سه‌فاز هستند، به طوری که:

$$\theta = \omega t \\ V_A = V_m \sin \theta, \quad V_B = V_m \sin(\theta - \frac{2\pi}{3}), \quad V_C = \sin(\theta - \frac{4\pi}{3})$$

ولتاژ جریان بار به ترتیب با  $V_La$ ،  $V_Lb$ ،  $V_Lc$ ،  $I_a$ ،  $I_b$  و  $I_c$  نشان داده شده‌اند.

بار دارای مقاومت  $R$  و اندوکتانس  $L$  می‌باشد و در طی این بررسی با ضریب توان معروفی می‌گردد:

$$\cos \phi = \frac{R}{\sqrt{R^2 + L^2 \omega^2}}, \quad Q = \frac{L \omega}{R}$$

ولتاژ تایپرستورها با  $V_{Thc}$ ،  $V_{Thb}$ ،  $V_{Tha}$  نشان داده شده‌اند. هدف این مطالعه در وهله اول، به دست آوردن شکل موج ولتاژ، جریان بار و ولتاژ تایپرستور در یک ضریب توان معین و زوایای آتش مختلف می‌باشد. سپس شکل موجهای حاصل از نظر دامنه هارمونیک‌های موجود، بررسی می‌گردد. همچنین با استی منحنی مشخصه هارمونیک‌ها در یک ضریب توان معینی و بهارای زاویه آتش از مقدار مجاز تا حد نهایی تعیین گردند. از آنجا که سیستم سه‌فاز متقان، بار متعادلی را تغذیه می‌کند، محاسبات فقط در مورد یک فاز صورت خواهد گرفت. در غیر این صورت محاسبات پیچیده‌تری موردنیاز خواهد بود.

## ۳- روش تحلیل

اگر  $\text{Tha}$  و  $\text{Thb}$  هدایت در نیم سیکل‌های مثبت و منفی فاز A را

و هم از دیدگاه مصرف‌کننده اهمیت بسیار زیادی پیدا می‌کند. چرا که این امر، به عنوان پارامتری، روی دهها پارامتر دیگر که رفتار سیستم قدرت را تعیین می‌کنند، تاثیر می‌گذارد. همچنین مصرف‌کننده نیز علاقمند است برای راه‌اندازی ادوات الکتریکی خود از انرژی با کیفیت مناسب بهره‌مند گردد. یکی از پارامترهایی که برای قضاوت درباره کیفیت مورد بحث از آن استفاده می‌شود، شکل موج سینوسی ولتاژ شبکه است. این پارامتر از آنجا اهمیت جدی پیدا می‌کند که همان پیشرفت تکنولوژی که باعث گسترش شبکه برق می‌گردد، آن را تحت بارهایی قرار می‌دهد که از نظر رژیم سینوسی، عاملی مخرب برای آن شمرده می‌شوند. به همین جهت مطالعه سیستمهایی که به هر نحو از این دیدگاه، عاملی تهدیدکننده، "خصوصاً" در شبکه توزیع به شمار می‌آیند، ضرورت پیدا می‌کند. اینورترها، برگشتهای جریان، سیکلوکورترها و ... از جمله بارهای غیرخطی هستند که کاربرد روزافزونی در سیستمهای الکتریکی پیدا می‌کنند و از دیدگاهی که به آن اشاره شد، بایستی حتی الامکان دقیقاً "مورد مطالعه قرار گیرند".

کنترل کننده‌های ولتاژ متناوب (با برگشتر جریان سینوسی) نیز به طور گسترده در سیستمهای الکتریکی به کار گرفته می‌شوند: گرمهای صنعتی، کورهای القاعی، کنترل تیپ‌چنجر ترانسفورمرهای قدرت، کنترل ترانسفورمرها برای فرایندهای الکتروشیمیایی، کنترل سرعت موتورهای القایی، کنترل نورافگن‌ها و ...

علاوه بر موارد فوق، سرعت عمل پاسخ کنترل کننده‌های ولتاژ موجب شده است که از آنها برای جریان سازی سریع در شبکهای قدرت نیز استفاده شود. به مخصوص در شبکهایی که دارای تغییرات شدید بار مصرفی هستند. بدین ترتیب می‌توان در تثبیت ولتاژ شبکه، کاهش هارمونیک‌های شبکه، تصحیح ضریب قدرت شبکه و بعضی اوقات برای از بین بردن نامتعادلی‌های موجود در شبکه نیز از این مدارات استفاده کرد.

همچنین این مدارات می‌توانند در سیستمهای کنترل مدار بسته نیز به کار گرفته شوند. در این‌گونه موارد، آنها به عنوان تقویت‌کننده عمل می‌کنند و زاویه آتش تایپرستور که در آن شروع به هدایت می‌کند، با سیگال خطای معینی تغییر می‌کند. مدارات کنترل کننده ولتاژ متناوب یا برگشتر جریان متناوب، به طور کلی براساس دو روش به کار گرفته می‌شوند:

- کنترل کلیدی on-off control
- کنترل زمانی phase control

در روش اول از تایپرستور برای وصل کردن بار به منبع برای چند سیکل و سپس قطع آن برای مدت زمان مشابهی استفاده می‌شود. کار تایپرستور در این روش بی‌شباهت به یک کلید سریع نیست.

در روش دوم تایپرستور ارتباط منبع و بار را برای مدت زمان دلخواهی از یک سیکل برقرار می‌سازد.

گرچه از نظر شکل مدار قدرت، این دو روش فرقی ندارند، ولی تحلیل روش دوم به مراتب مشکل‌تر است. گرچه "ظاهرها" مدارات کنترل کننده ولتاژ متناوب، جزو ساده‌ترین مدارات در سیستمهای قدرت می‌باشند ولی این سادگی شامل طرح و تحلیل آنها نمی‌شود. چرا که به جز در حالتی که بار کنترل کننده ولتاژ، اهمی خالص و یا سلفی خالص است، زاویه خاموشی تایپرستورها، به آسانی تعیین نمی‌گردد.

$$I_b = \frac{V_m}{Z} \sin(\theta - \frac{2\pi}{3} - \phi) - \frac{V_m}{Z} \sin(\psi - \frac{2\pi}{3} - \phi) e^{-\frac{(\theta-\psi)}{Q}} + I_{Be}$$

$$I_c = \frac{V_m}{Z} \sin(\theta - \frac{4\pi}{3} - \phi) - \frac{V_m}{Z} \sin(\psi - \frac{4\pi}{3} - \phi) e^{-\frac{(\theta-\psi)}{Q}} - I_{Be}$$

از آنجا که  $\theta_1$  در  $\psi$  روش شده است، جریان اولیه  $I_{Thc}$  برابر  $I_B$  در نظر گرفته می‌شود. برای محاسبه این جریان، از این حقیقت استفاده می‌شود که در زاویه‌ای متنبند  $\theta_1 = 0$  می‌شود، پس:

$$I_B = \frac{V_m}{Z} \left[ \sin(\theta_1 - \frac{4\pi}{3}) e^{-\frac{4\pi}{Q}} - \sin(\psi - \frac{4\pi}{3}) \right]$$

ب‌گذر از هدایت سه تایرستوری بهدو تایرستوری در این حالت، در زاویه  $\theta_1$  انجام می‌شود. بنابراین از لحظه  $\theta_1$  تا روش شدن تایرستور دیگری، مدار در مرحله هدایت دو تایرستوری از حالت یک خواهد بود.

ولتاژ بار:

$$VL_a = \frac{1}{2} (VA - VB), VL_b = -\frac{1}{2} (VA - VB), VL_c = 0$$

ولتاژ تایرستور:

$$VTh_a = 0, VTh_b = 0, VTh_c = \frac{3}{2} VC < 0$$

جریان بار:

$$I_a = -I_b, I_c = 0$$

$$L\omega \frac{dI_a}{d\theta} + RI_a = \frac{1}{2} (VA - VB)$$

از حل معادله فوق نتیجه می‌شود:

$$I_a = \frac{V_m}{2Z} \left\{ \sin(\theta - \phi) - \sin(\theta - \frac{2\pi}{3} - \phi) + [\sin(\theta_1 - \frac{2\pi}{3} - \phi) - \sin(\theta_1 - \phi)] e^{-\frac{(\theta-\theta_1)}{Q}} \right\} + I_{Ae} e^{-\frac{(\theta-\psi)}{Q}}$$

الف. جریان فاز A در لحظه  $\theta_1$  است. و از رابطه جریان در قسمت الف به دست می‌آید. بنابراین داریم:

$$I_a = -I_b = \frac{V_m}{2Z} \left[ \sin(\theta - \phi) - \sin(\theta - \frac{2\pi}{3} - \phi) - \sin(\theta_1 - \frac{4\pi}{3} - \phi) e^{-\frac{(\theta-\theta_1)}{Q}} - 2 \sin(\psi - \phi) e^{-\frac{(\theta-\psi)}{Q}} \right]$$

همان‌گونه که مشاهده می‌شود، برای محاسبه جریان در مرحله

به‌عده داشته باشد، تایرستورهای فازهای B و C متناظر با  $\frac{2\pi}{3}$  و  $\frac{4\pi}{3}$  متناظر با  $\frac{2\pi}{3}$  و  $\frac{4\pi}{3}$  هستند. بنابراین ترتیب روش شدن شن تایرستور مدار چنین به دست می‌آید:

$Th_a, Th_c, Th_b, Th_a, Th_c, Th_b$

پیدا کردن شکل موجه‌ای موردنظر بستگی به‌وضعیت تایرستورهای مدار داشته و تعیین این‌که در هر لحظه از زمان کدامیک از تایرستورها در حال هدایت، روش شدن و یا خاموش شدن است، برای محاسبه ولتاژ جریان بار و ولتاژ تایرستور دارای اهمیت است. در طول یک سیکل کامل، دو حالت برای تایرستورها ممکن است:

حالت یک – سه تایرستور به‌طور همزمان و یا دو تایرستور به‌طور همزمان در حال هدایت هستند.

حالت دو – دو تایرستور به‌طور همزمان در حال هدایت هستند و یا هیچ تایرستوری هدایت نمی‌کند.

تعیین این‌که مدار کنترل کننده، ولتاژ در کدام حالت می‌باشد، بستگی به‌ضریب توان بار دارد. به عبارت دیگر برای بار معینی با مقاومت و انداختانس مشخص، زاویه آتش به‌خصوصی وابسته به‌ضریب قدرت بار موجود است که از زوایای کوچکتر از آن، مدار در حالت یک و در زوایای بزرگتر از این زاویه آتش مدار در حالت دو کار خواهد کرد، و تعیین این‌که در یک حالت معینی، مدار به صورت هدایت سه یا دو یا هیچ تایرستوری کار می‌کند، بستگی به زاویه آتش و ضریب توان بار خواهد داشت. زاویه کفر بین دو مرحله هدایت سه به دو تایرستوری و یا دو تایرستوری به‌هیچ تایرستوری را، زاویه خاموشی تایرستوری که مستعد خاموشی است، معین می‌سازد.

بررسی حالت یک

الف. فاز را در نظر می‌گیریم، فرض می‌کنیم  $Th_a, Th_b$  در حال هدایت باشند. در این صورت روابط زیر برای محاسبه ولتاژ بار و ولتاژ تایرستور مورد استفاده قرار می‌گیرند:

ولتاژ بار:

$$VL_a = VA, VL_b = VB, VL_c = VC$$

ولتاژ تایرستور:

$$VTh_a = 0, VTh_b = 0, VTh_c = 0$$

جریان بار:

$$L\omega \frac{dI_a}{d\theta} + RI_a = VA \quad I_a(\psi) = 0$$

$$L\omega \frac{dI_b}{d\theta} + RI_b = VB \quad I_b(\psi) = IB$$

$$L\omega \frac{dI_c}{d\theta} + RI_c = VC \quad I_c(\psi) = -IB$$

پ. زاویه آتش  $Th_a$  است.

از حل معادلات فوق نتیجه می‌شود:

$$I_a = \frac{V_m}{Z} \sin(\theta - \phi) - \frac{V_m}{Z} \sin(\psi - \phi) e^{-\frac{(\theta-\psi)}{Q}}$$

در شکل ۲، که حالت هدایت یک مدار را نمایش می‌دهد، تغییر مرحله در یک حالت معین گذر از هدایت سه تایرستوری بهدو تایرستوری و بالعکس با بریدگی‌های آشکار در شکل موج ولتاژ بار، مشخص می‌شود.

حالات دو  
الف - فاز A را مجدداً در نظر می‌گیریم و فرض می‌کنیم دو تایرستور Th<sub>a</sub> و Th<sub>b</sub> در حالت هدایت باشند. در این صورت خواهیم داشت:  
ولتاژ بار:

$$VL_a = -VL_b = \frac{1}{2}(VA - VB), VL_c = 0.$$

ولتاژ تایرستور:

$$VTh_a = 0, VTh_b = 0, VTh_c = \frac{3}{2}VC$$

جریان بار:

$$I_a = -I_b, I_c = 0$$

$$L\omega \frac{dI_a}{d\theta} + RI_a = \frac{1}{2}(VA - VB)$$

از حل معادله فوق نتیجه می‌شود:

$$I_a = -I_b = \frac{\sqrt{3}}{2} \frac{Vm}{Z} \left[ \sin(\theta + \frac{\pi}{6} - \phi) - \sin(\psi + \frac{\pi}{6} - \phi) \right]$$

ب - این مرحله، مرحله دوم از هدایت حالت دو است، و هیچ تایرستوری هدایت نمی‌کند. پس خواهیم داشت:

ولتاژ بار:

$$VL_a = 0, VL_b = 0, VL_c = 0$$

ولتاژ تایرستور:

$$VTh_a = VA, VTh_b = VB, VTh_c = VC$$

جریان بار:

$$I_a = 0, I_b = 0, I_c = 0$$

گذر بین این دو مرحله در زاویه‌ای مانند  $\theta_2$  صورت می‌گیرد، یعنی وقتی که  $I_a = 0$  بنا بر این زاویه  $\theta_2$  از رابطه زیر محاسبه می‌گردد:

$$\sin(\theta_2 + \frac{\pi}{6} - \phi) e^{\frac{(\theta_2 - \psi)}{Q}} = \sin(\psi - \phi + \frac{\pi}{6})$$

در شکل ۳، حالت هدایت دو با  $\cos\phi = 0.7$  و  $\psi = 120^\circ$  نشان داده شده است.

#### ۴- مشخصه‌های هارمونیک

در یک ضرب قدرت معین و زاویه آتش دلخواه، مقدار موعثر ولتاژ بار از روی شکل موج ولتاژ بار به دست آمده قابل محاسبه است. همچنین می‌توان با استفاده از تحلیل فوریه، دامنه هارمونیک ولتاژ مورد نظر را به دست آورد. تحت همین شرایط مقدار موعثر جریان I و

دوم از حالت یک لازم است زاویه  $\theta_1$  محاسبه شود. از طرف دیگر باید تعیین شود که آیا مدار کلاً در حالت یک خواهد بود یا خیر. محاسبه زاویه  $\theta_1$  جریانها متقاضی هستند پس می‌توان نوشت:

$$I_a(\theta + \frac{\pi}{3}) = -I_b(\theta)$$

پس در لحظه  $\psi = \theta$  خواهیم داشت:

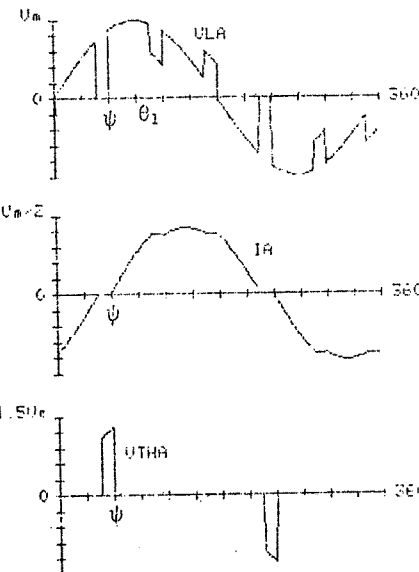
$$I_a(\psi + \frac{\pi}{3}) = -I_b(\psi) = -IB$$

از رابطه فوق نتیجه می‌گیریم:

$$\sin(\theta_1 - \phi - \frac{4\pi}{3}) e^{\frac{(\theta_1 - \psi)}{Q}} = -\sin(\psi - \phi) \frac{1-2e^{\frac{-3Q}{\pi}}}{2-e^{\frac{-3Q}{\pi}}}$$

در رابطه فوق، اگر  $\theta_1 = \psi$ ، در این صورت زاویه‌ای که به دست می‌آید، زاویه آتش حدی خواهد بود که میان بین دو حالت یک و دو را تعیین می‌کند.

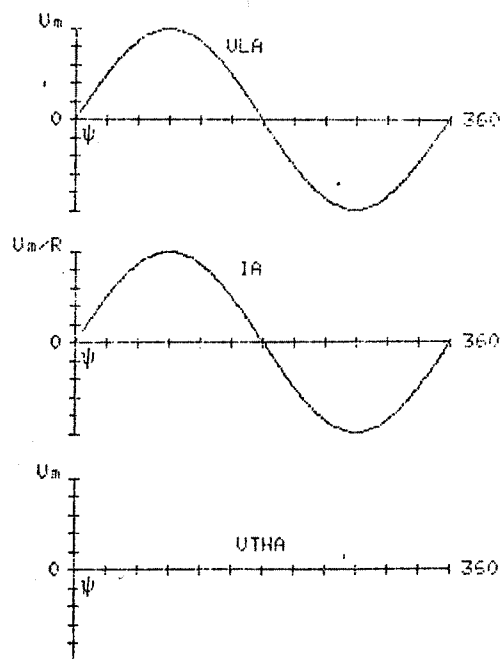
$$\sin(\psi - \phi - \frac{4\pi}{3}) = -\sin(\psi - \phi) \frac{1-2e^{\frac{-3Q}{\pi}}}{2-e^{\frac{-3Q}{\pi}}}$$



شکل ۲- حالت هدایت یک  
 $\cos\phi = 0.7$   
 $\psi = 60^\circ$   
 $\theta_1 = 106.6^\circ$

تحلیل فوریه نشان می‌دهد که ولتاژ بار فقط دارای هارمونیک‌های ضریب  $K = 0, 1, \dots, n=6K\pm 1$  است. یعنی فقط هارمونیک‌های ۱، ۵، ۹، ۱۳، ... وجود داشته که از این میان به‌غیر از دامنه هارمونیک اصلی، هارمونیک‌های پنجم و هفتم بیشترین دامنه را دارند. در منحنی‌های مشخصه، برای مقایسه، نسبت مقدار موثر ولتاژ سینوسی منبع نشان داده است.

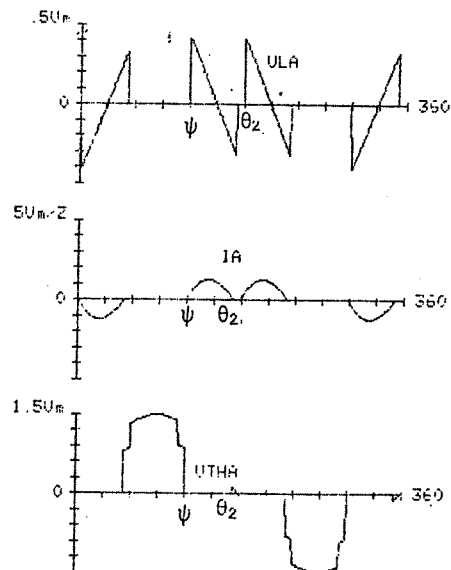
**۵-نتایج بدست آمده:**  
برنامه کامپیوتری که برای این مطالعه تهیه شده است، این امکان را به‌وجود می‌آورد تا رفتار مدار کنترل‌کننده و ولتاژ متناوب در یک حالت بدخصوص و یا به‌طور کلی مورد مطالعه قرار گیرد. نتایجی که در اینجا ارائه می‌شود چند حالت خاص و یک حالت کلی دربرمی‌گیرد. در اشکال ۵ الی ۸، شکل موجها موردنظر در ضریب قدرت واحد و زاویه آتش مختلف نشان داده است. شکل ۷ در واقع وضعیت حدی بین حالت یک و حالت دو برای بار اهمی خالص است.



شکل ۵-حالت یک  
 $\cos\phi = 1$  ،  $\psi = 0^\circ$  ،  $\theta_1 = 60^\circ$

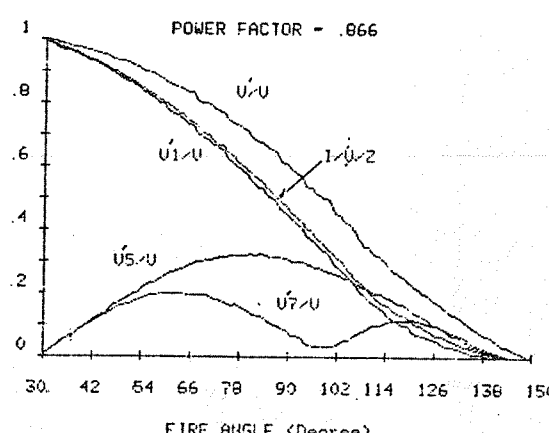
در اشکال ۹ الی ۱۲، شکل موجها برای بار القابی خالص نشان داده شده است. شکل ۱۱ نمایانگر وضعیت حدی بین حالت یک و حالت دو هدایت با بار القابی خالص است.

شکل ۱۳ و ۱۴، شکل موجها را برای دو ضریب قدرت مختلف و در دو حالت هدایت مختلف نشان می‌دهد. از مطالعه این شکل موجها، این نتیجه گرفته می‌شود که در زوایای آتش کوچک در یک ضریب قدرت معینی، جریان از پیوستگی نسبی بیشتری برخوردار است و ضمناً ولتاژ معکوس تایرستور و مدت زمانی که روی تایرستور قرار دارد نیز مقدار نسبتاً کمتری است.

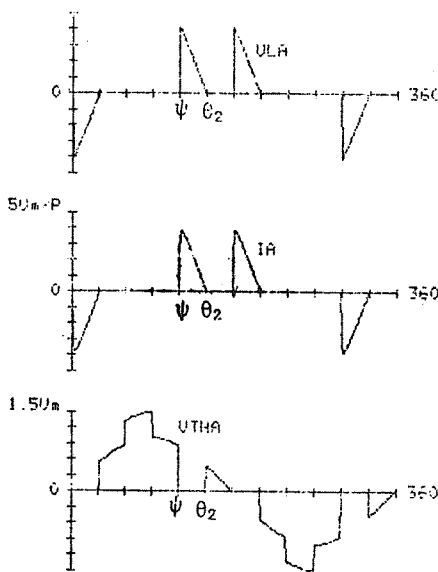


شکل ۳-حالات هدایت دو  
 $\cos\phi = 0.7$   
 $\psi = 120^\circ$   
 $\theta_2 = 172.2^\circ$

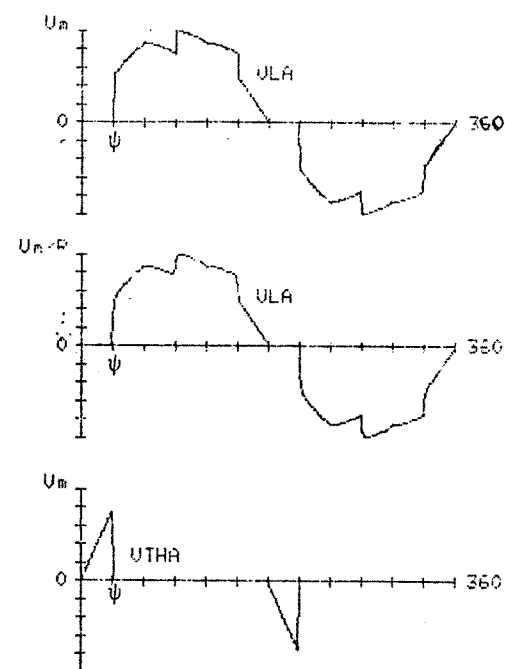
در نتیجه نسبت  $\frac{I}{V/Z}$  قابل محاسبه می‌باشد. بدینهی است که این نسبت برای بار اهمی خالص برابر  $\sqrt{\frac{V}{Z}}$  خواهد بود. که در آن  $\sqrt{V}$  مقدار موثر ولتاژ و  $Z$  مقدار موثر ولتاژ منبع سینوسی است.  
اگر مقدار موثر هارمونیک بدست آمده را  $V_1$  و ... بنامیم و محاسبات فوق را در یک ضریب قدرت معین و به‌ازای تمامی زوایای آتش مجاز تکرار کنیم، منحنی‌هایی بدست خواهد آمد که آنها را مشخصه‌های هارمونیک مدار کنترل‌کننده و ولتاژ متناوب خواهیم نامید.  
برای  $\cos\phi = \frac{\sqrt{3}}{2}$  این منحنی‌ها در شکل ۴ نشان داده شده است.



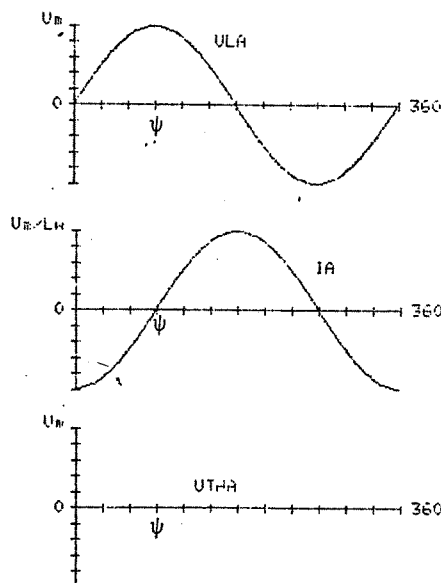
شکل ۴- منحنی مشخصه هارمونیک‌ها برای  
 $\cos\phi = \frac{\sqrt{3}}{2}$



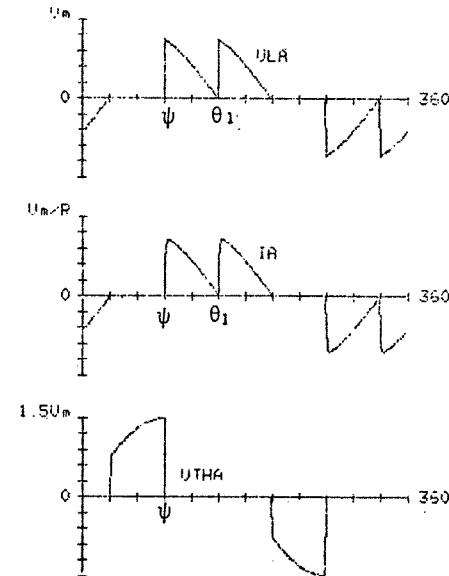
شكل ٨ - حالت دو  
 $\cos\phi = 1$  ,  $\psi = 120^\circ$  ,  $\theta_2 = 150^\circ$



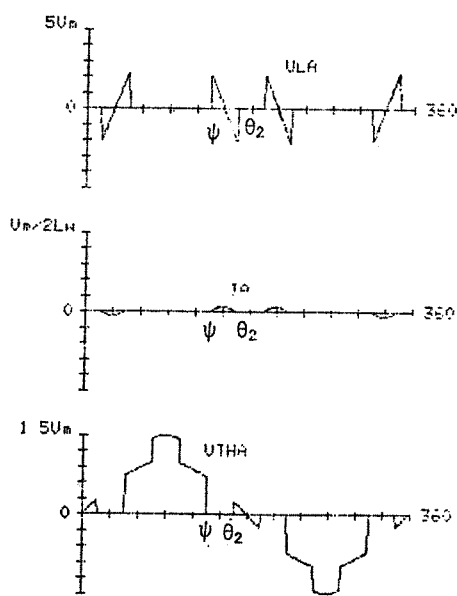
شكل ٦ - حالت يك  
 $\cos\phi = 1$  ,  $\psi = 30^\circ$  ,  $\theta_1 = 60^\circ$



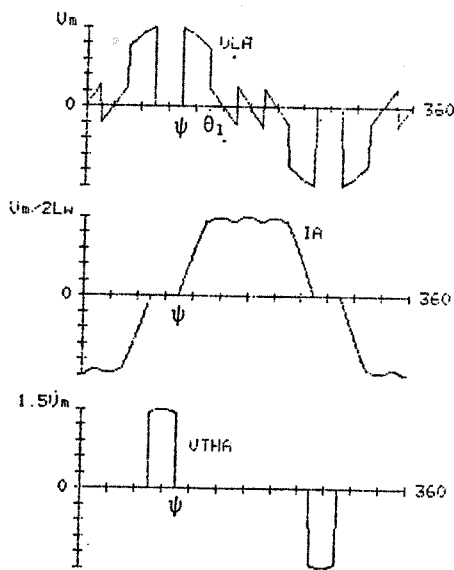
شكل ٩ - حالت يك  
 $\cos\phi = 0$  ,  $\psi = 90^\circ$  ,  $\theta_1 = 150^\circ$



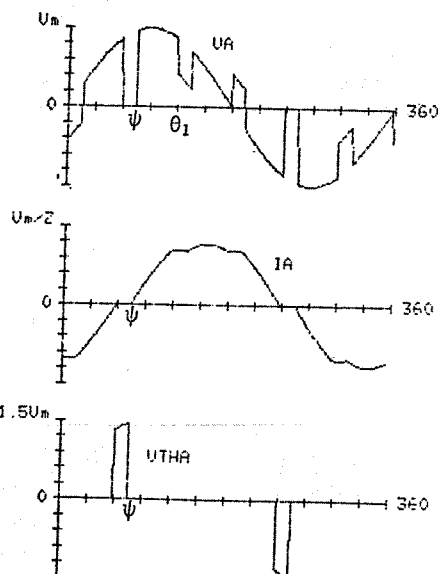
شكل ٧ - حالت يك  
 $\cos\phi = 1$  ,  $\psi = 90^\circ$  ,  $\theta_1 = 150^\circ$



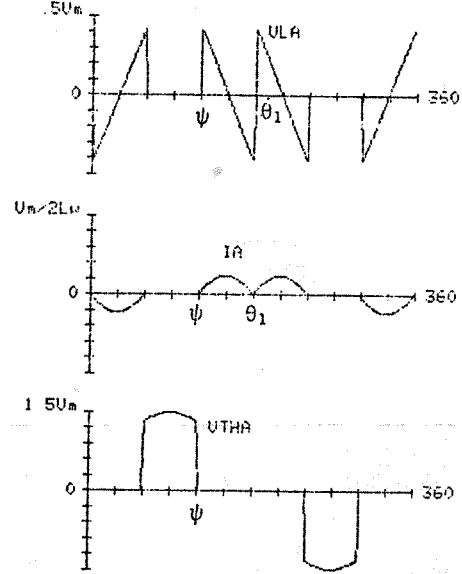
شكل ۱۲-حالت دو  
 $\cos\phi = 0$  ,  $\psi = 135^\circ$  ,  $\theta_2 = 165^\circ$



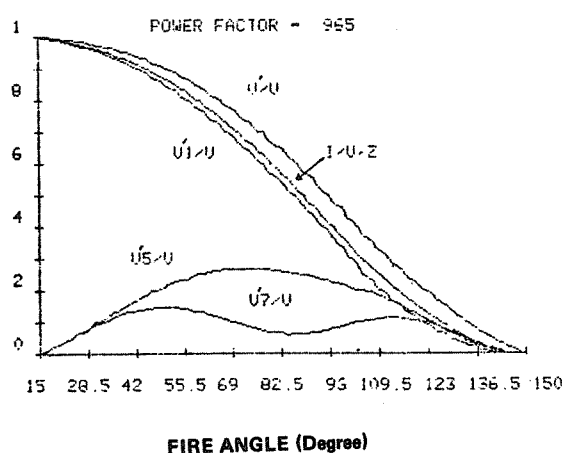
شكل ۱۰-حالت یک  
 $\cos\phi = 0$  ,  $\psi = 105^\circ$  ,  $\theta_1 = 135^\circ$



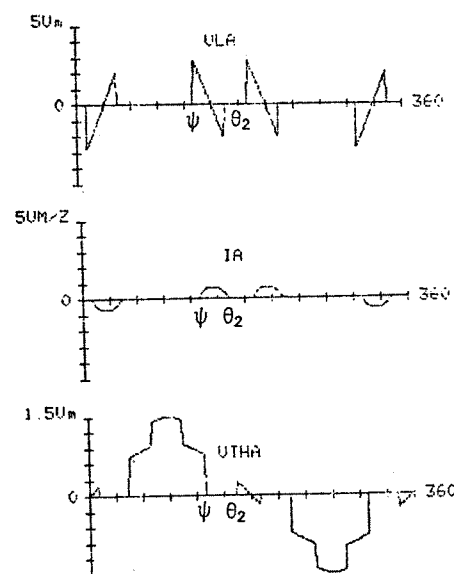
شكل ۱۳-حالت یک  
 $\cos\phi = 0.5$  ,  $\psi = 75^\circ$  ,  $\theta_1 = 119.3^\circ$



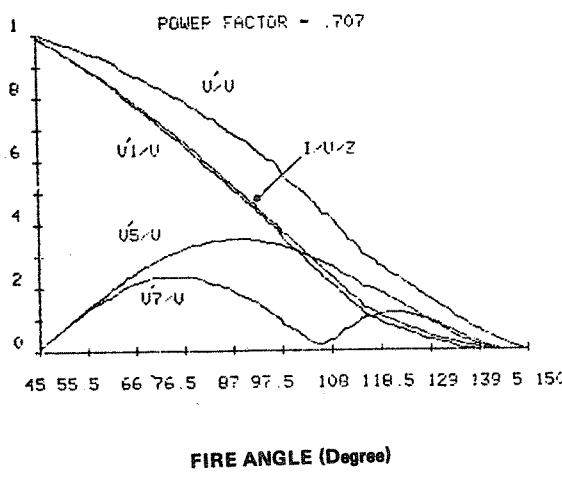
شكل ۱۱-حالت یک  
 $\cos\phi = 0$  ,  $\psi = 120^\circ$  ,  $\theta_1 = 180^\circ$



شکل ۱۶

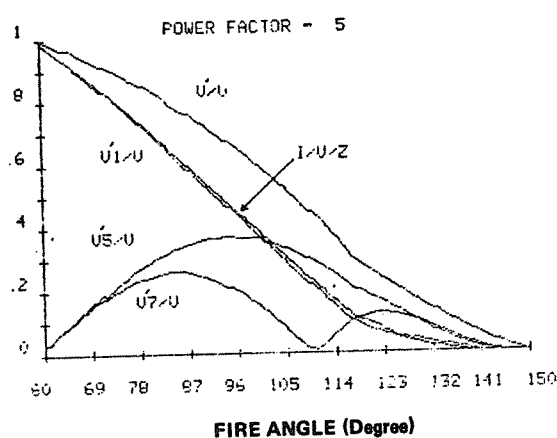


شکل ۱۴ - حالت دو  
 $\cos\phi = \sqrt{3}/2$  ,  $\psi = 130^\circ$  ,  $\theta = 164.1^\circ$

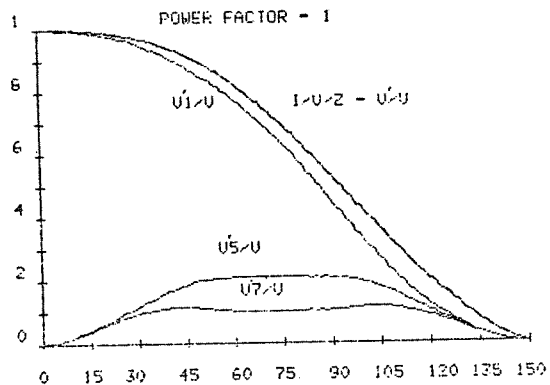


شکل ۱۷

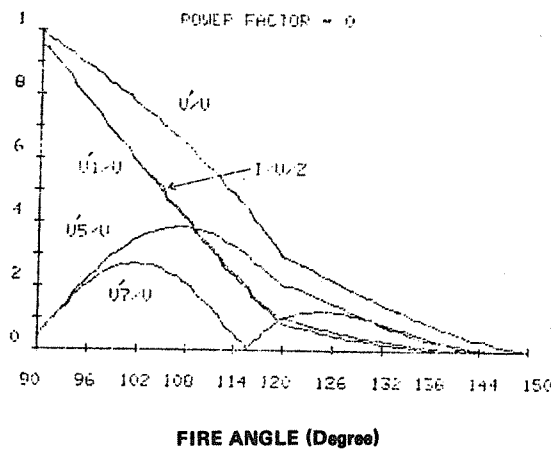
منحنی های مشخصه هارمونیک ها در شکل های ۱۵ الی ۲۰ نشان داده شده اند. می توان مساله را از دیدگاه ضریب قدرت، زاویه آتش و میزان هارمونیک نیز بررسی کرد. به عنوان مثال در شکل ۱۲ که منحنی ها با ضریب قدرت  $1/2$  به دست آمده اند، در زاویه آتش ۸۷ نسبت هارمونیک پنجم به مقدار مؤثر ولتاژ شبکه  $35\%$  می باشد.



شکل ۱۸

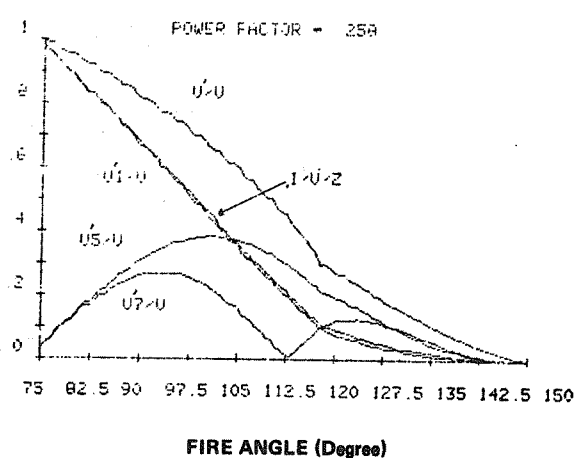


شکل ۱۵



FIRE ANGLE (Degree)

شکل ۲۰



FIRE ANGLE (Degree)

شکل ۱۹

#### منابع :

- 1— W. Shepherd, Steady-State Analysis of the Series Resistance—Inductance Circuit Controlled by Silicon Controlled Rectifiers. I. E. E. E., Transactions I. G. A., Vol. I. G. A., 1, p 259—265 July/August 1965.
- 2— T. G. Bland, Steady-State Analysis of the Series Resistance—Inductance Circuit with Controlled Switches. I. E. E. E. Trans. on I. E. C. I., Vol I. E. C. I., 23, No.2, May 1976. p 171—177.
- 3— M. A. Krishnamurthy, G. K. Dubey, G. N. Revankar, A. C. Power control of an R—L load I. E. E. E. trans. on I. E. C. I., Vol. I. E. C. E., 24, No.1, February 1977, p 138—141.
- 4— Christian Rombaut, Etude des gradateurs triphasés et d'autres convertisseurs alternatif—alternatif fonctionnant en courant en commutation naturelle. These Docteur Ingenieur Lille, 1979.
- 5— T. G. Bland, Steady-state analysis of single-phase A. C. controller with resistance load, I. E. E. E. transactions on I. E. C. I., Vol. I. E. C. I., 22, No.3 August 1975. p 441—447.
- 6— A. Yair, Steady-state analysis of single-phase transformer coupled loads controlled by a bidirectional A. C. switch. I. E. E. E. Transactions on I. A., Vol. I.A., 12, No.2, March/April 1979. p 143—145.

#### ع—نتیجه‌گیری

مدار کنترل کننده، ولتاژ متناوب برای بدست آوردن مقدار موثر ولتاژ دلخواه در مدارات قدرت مورد استفاده قرار می‌گیرد، که مقدار موثر این ولتاژ، بستگی به ضریب توان و زاویه آتش تاپرستورها دارد. آنچه که اهمیت دارد، ایجاد هارمونیکهای پنجم و هفتم و در سوچ آسما به شبکه قدرت است که مهم ترین نتیجه آن اعوجاج در شکل موج سینوسی شبکه می‌باشد. بنابراین بهکارگیری چنین مدارهایی باید همراه با تدا이بر معین برای جلوگیری از تزریق جریانهای هارمونیک به شبکه باشد. با توجه به مورد خاص و ولتاژی که موردنیاز است، می‌توان زاویه آتش را نیز در محدوده‌ای تعیین کرد، که شکل موج ولتاژ حاوی کمترین نسبت هارمونیک باشد.

این مطالعه به کمک برنامه کامپیوتری انجام شده است که می‌تواند در مطالعه دیگر شکل‌های مدار کنترل کننده ولتاژ متناوب نیز مورد استفاده قرار گیرد. همچنین با اندک اصلاحاتی می‌توان از این برنامه برای مطالعه دیگر بارهای غیرخطی شبکه، اینورترها، سیکلوكورتر و ... نیز استفاده کرد.